a-Si:H/c-Si ヘテロ接合の電気的特性

松 浦 秀 治 · 大 串 秀 世 田 中 一 宜 (電総研)

1986年5月23日

<sup>社団</sup> 電 子 通 信 学 会

a-Si:H/c-Si ヘテロ接合の電気的特性 Electric properties of a-Si:H/c-Si heterojunctions

松浦 秀治 大串 秀世
Hideharu MATSUURA Hideyo OKUSHI 田中 一宜
Kazunobu TANAKA 電子技術総合研究所
Electrotechnical Laboratory

## 1. はじめに

現在、水素化アモルファスシリコン (a-Si:H)は、太陽電池、TFT等の素子に応 用されているが(1)、接合特性にはまだ不明 なところが多く残されている(2)。そこで、 接合の一方に素性の良くわかっている結晶シ リコン(c-Si)を用いたa-Si:H/c-Siヘテロ接 合素子の特性を調べることは、a-Si:H膜自体 の特性も知ることができるので、重要な意味 を持つ(3-11)。 更に、その特性を利用した素 子への応用も重要です(10,12,13)。今回、我 々はa-Si:H/c-Siヘテロ接合素子を用いて a-Si:Hの電子親和力、ヘテロ接合界面でのエ ネルギーバンドの不連続値、ドナーとして振 る舞う禁制帯中の局在準位密度を測定する方 法を確立するとともに、ヘテロ接合の電流輸 送機構を解明できたので報告する。

# 2. 実験

裏面に金(Au)を蒸着しアロイしたc-Si(n型 及び p型 )の上に、 $SiH_4$  のグロー放電分解法によりa-Si:H膜を堆積させた。不純物としては、 $SiH_4$  ガスに $PH_3$  または $B_2H_6$  ガスを混入させてn型またはp型a-Si:Hを成膜した。堆積条件は基板温度 250 °C、流量 5 SCCM、圧力 50 mTorrである。無添加の膜はn型を示す。膜堆積後、マグネシウム(Mg)と金を蒸着して図1に示す4種類の素子を製作した。容量-電圧特性(C-V)は100kHzで測定した。電流ー電圧特性(J-V)は窒素雰囲気中で297 K か

ら374 Kまでで測定した。高温にした後、室温に戻してもJ-V特性の劣化は見られなかった。

# 3. 実験結果と検討

# 3-1. 接合特件

今回の構造の素子では、金属とa-Si:H、a-Si:Hとc-Si、及びc-Si裏面と金との3種類の接合を持つ為、a-Si:Hとc-Siとのヘテロ接合以外の接合がオーミック特性を示すことを調べなければいけない。c-Siの裏面と金との接合はアロイしているためオーミック特性が容易にえられるが、金属とa-Si:Hとは特に調べる必要がある。図1に示す4種類の素子のJ-V特性を、ガス比( $B_2$ H $_6$ /SiH $_4$ )をパラメータとして図2に示す。無添加のa-Si:H膜の特性(図2(a))はPH $_3$ を添加した膜の特性と似ている

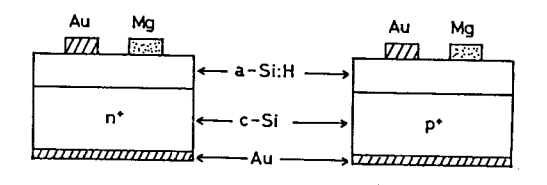


図1.4種類の素子の構造

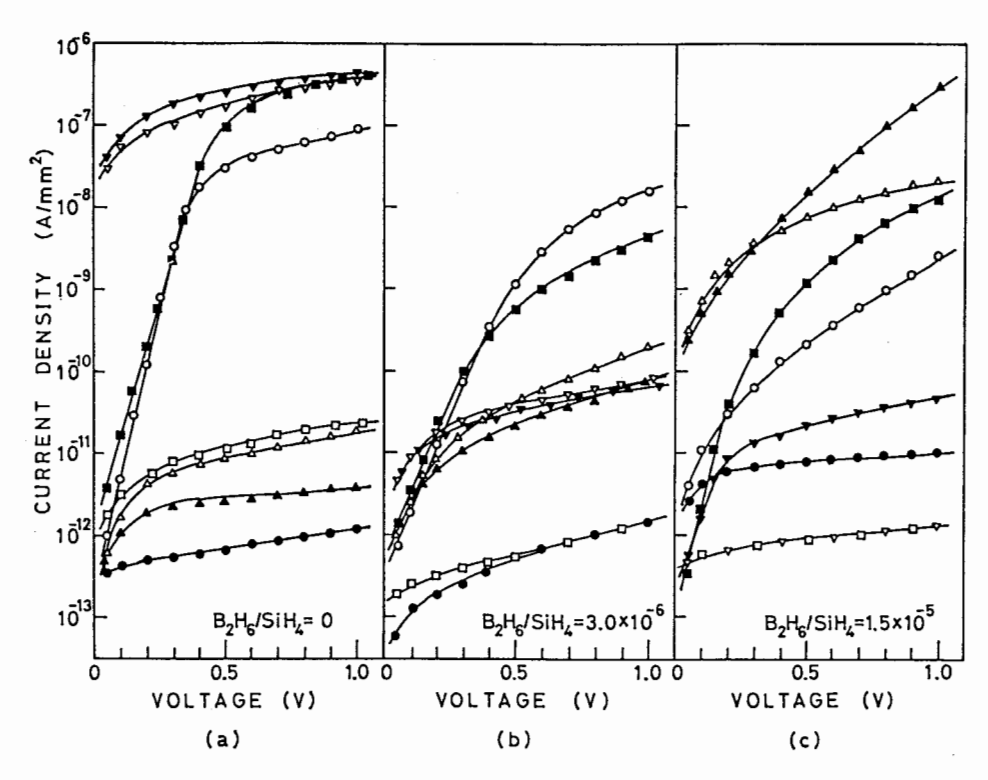


図2.4種類の素子の各ボロン濃度におけるJ-V特性。○● Au/a-Si:H/n<sup>+</sup> c-Si, △ ▲ Au/a-Si:H/p<sup>+</sup> c-Si, ▽ ▼ Mg/a-Si:H/n<sup>+</sup> c-Si, □ ■ Mg/a-Si:H/p<sup>+</sup> c-Si。金属に正電圧をかけた時が白抜きである。

表1. 接合特性

伝導型	Au/a-Si:H	Mg/a-Si:H	n+ c-Si/a-Si:H	p⁺ c-Si/a-Si:H		
n型(a)	R	N	N	R		
真性型	R	R	R	R		
p型(b)	N	R	R	N		

(a) 無添加 及び リン添加

N: オーミック性

(b) 15 ppm以上のボロン添加

為、n型a-Si:Hである。図2(a)でAu/a-Si:H/n\* c-SiとMg/a-Si:H/p\* c-Siは良い整流特性を示している。Au/a-Si:H/p\* c-SiではAuに正電圧を加えたときMg/a-Si:H/p\* c-SiのMgに正電圧を加えた逆方向特性と一致し、この素子のAuに負電圧を加えたときAu/a-Si:H/n\*

R: 整流性

c-SiのAuに負電圧を加えた逆方向特性とほぼ等しくなる。このことより、金属に正電圧を加えるとa-Si:H/p<sup>t</sup> c-Siへテロ接合で逆方向特性を示し、金属に負電圧を加えるとAu/a-Si:H Schottky障壁で逆方向特性を示すことがわかる。また、Mg/a-Si:H/n<sup>t</sup> c-Siの

電流値は接合抵抗ではなくa-Si:II膜の抵抗で決まっていることがわかる。以上のことから、無添加のa-Si:H膜の場合、Mg/a-Si:IIとa-Si: $H/n^{\dagger}$  c-Siとの接合はオーミック性を示し、Au/a-Si:Hとa-Si: $H/p^{\dagger}$  c-Siとの接合は整流性を示すことがわかった。

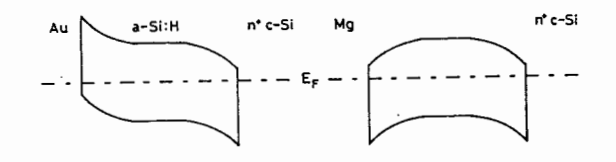
図2(c)でも同様の考察から、15 ppmボロン添加のa-Si:H膜の場合Au/a-Si:Hとa-Si:H/p<sup>+</sup> c-Siとの接合はオーミック性を示し、Mg/a-Si:Hとa-Si:H/n<sup>+</sup> c-Siとの接合は整流性を示すことがわかる。このことより、この膜はp型になっていることが判明した。図2(b)の3 ppmボロン添加のa-Si:H膜はn型の無添加のJ-V特性(a)でもp型の15 ppmボロン添加のJ-V特性(c)でもないので、真性型と考えられる。これらを表1にまとめる。

Mgの仕事関数がAuより小さいことと、n\*c-Siの仕事関数がp\*c-Siより小さいことを考慮して、図2と表1とから、図3のようなエネルギーバンド図が考えられる。

以上の考察から、n型a-Si:H膜の場合Mgを、p型a-Si:H膜の場合Auを用いることによってa-Si:H/c-Siヘテロ接合の電気的特性が調べられる。

## 3-2. 電子親和力の決定

アクセプタ密度(NA)が2x10<sup>'5</sup>,9x10<sup>'5</sup>,1.8x10<sup>'7</sup> ,>10<sup>18</sup> cm<sup>-3</sup> の4種類のp型c-Siに無添加 a-Si:Hを堆積しMgを蒸着した素子を用いて 100kHzにおけるC-V特性を測定した。図4にNa が9x10<sup>15</sup> cm<sup>-3</sup>の試料6の1/C<sup>2</sup>-V特性を示し、 N<sub>A</sub>が10<sup>18</sup> cm<sup>-3</sup> 以上の試料4の特性は破線で示 した。無添加のa-Si:H膜の抵抗率は10<sup>9</sup>Ωcm もあり、100kHzの高周波数では膜内での誘電 緩和が起こらないため膜全体が誘電体として 働く。試料4ではp c-SiのN<sub>A</sub>が10<sup>18</sup> cm<sup>-3</sup> 以上 と多いため、ヘテロ接合で形成される空乏層 はa-Si:H側にだけできる。そのため、図中の 破線で示すようにa-Si:H膜厚で決まる一定容 量が測定される。一方、試料6の場合pc-Si のNaが9x10<sup>15</sup> cm<sup>-3</sup> と少ないため空乏層はp c-Si側にも形成される。この場合のエネルギ



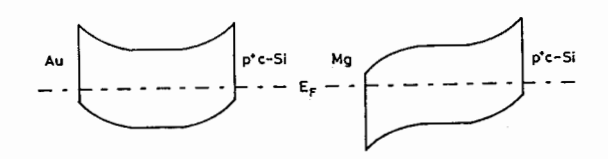


図3.4種類の素子のa-Si:Hのエネルギーバンド図

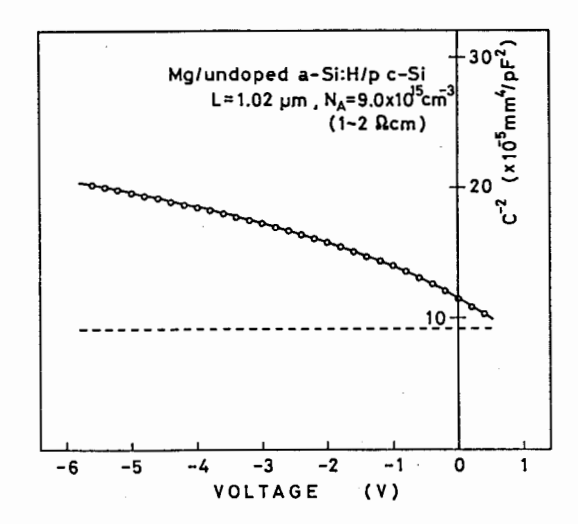


図4.1/C<sup>1</sup>-V特性

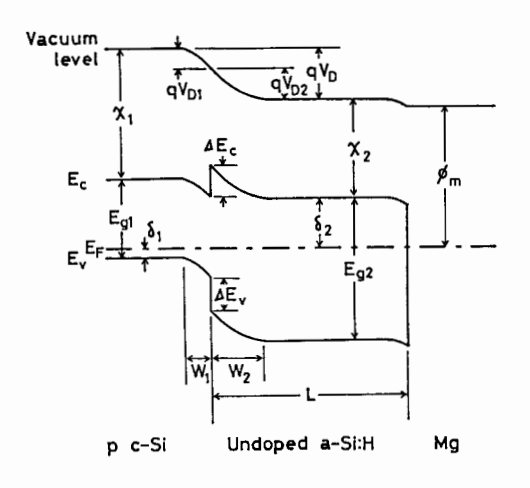


図 5. p c-Si/a-Si:H/Mgのエネルギーバンド 図

表2. ヘテロ接合素子

sample	p c-Si			undoped a-Si:H						
number	ρ(Ωcm)	N <sub>A</sub> (cm <sup>-3</sup> )	δ <sub>1</sub> * (eV)	L (μm)	δ2 <sup>**</sup> (eV)	***	v <sub>D</sub> (v)	$N_{I}$ (cm <sup>-3</sup> )	ΔE <sub>C</sub> (eV)	χ <sub>2</sub> (eV)
1	5-10	2.0x10 <sup>15</sup>	0.22	1.16	0.72	С	0.31	6.2x10 <sup>15</sup>	0.13	3.88
2	1-2	9.0x10 <sup>15</sup>	0.18	0.80	0.76	С	0.51	3.6x10 <sup>15</sup>	0.33	3.68
3	1-2	9.0x10 <sup>15</sup>	0.18	2.19	0.72	С	0.37	2.8x10 <sup>15</sup>	0.15	3.86
4	0.005-0.01	> 10 <sup>18</sup>	0	1.02	0.72	С	-	-	-	· -
5	0.1-0.15	1.8x10 <sup>17</sup>	0.10	1.02	0.72	С	-	-	-	-
6	1-2	9.0x10 <sup>15</sup>	0.18	1.02	0.72	С	0.42	3.9×10 <sup>15</sup>	0.20	3.81
7		2.0x10 <sup>15</sup>	0.22	1.02	0.72	С	0.38	4.0x10 <sup>15</sup>	0.20	3.81
8		9.0x10 <sup>15</sup>	0.18	1.76	0.84	ı	0.37	1.6x10 <sup>15</sup>	0.27	3.74
9	5–10	2.0x10 <sup>15</sup>	0.22	1.78	0.84	ı	0.20	1.8x10 <sup>15</sup>	0.14	3.87

<sup>\*</sup>  $\delta_1 = kT \ln(N_V/N_A)$ ,  $N_V = 1.02 \times 10^{19} \text{ cm}^{-3}$ .

<sup>\*\*\*</sup> C: capacitively-coupled GD reaction chamber, I: inductively-coupled GD reaction chamber.

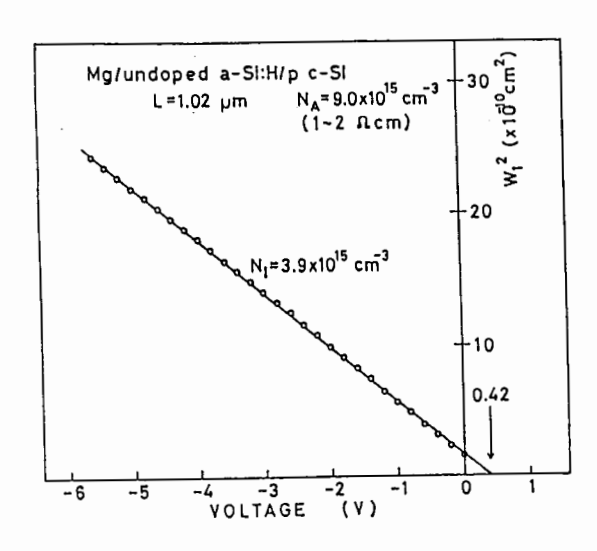


図 6. 結晶側に形成された空乏層幅(W<sub>1</sub>)の 2 乗と電圧との関係

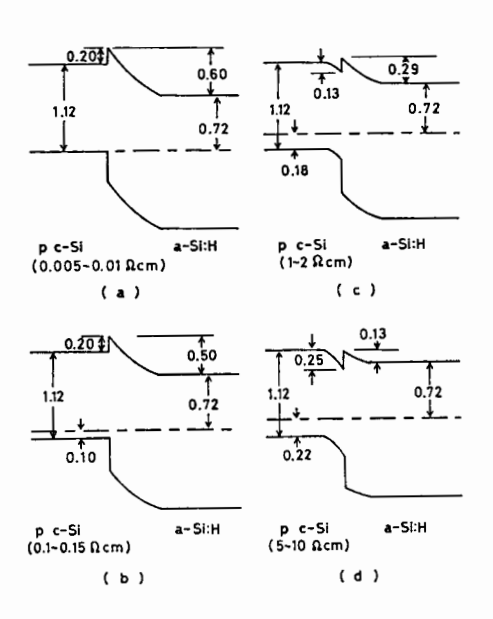


図7. 4種類のp c-Siと無添加a-Si:IIとのヘ テロ接合のエネルギーバンド図

<sup>\*\*</sup>  $\delta_2$ : the thermal activation energy of conductivity in dark.

-バンド図を図5に示す。図中の $\chi_1$ 、 $\chi_2$ は c-Si, a-Si:Hの電子親和力、 $V_D$  は拡散電圧、 $E_g$  は禁制帯幅、Wは空乏層幅、Lはa-Si:H膜厚、 $\Delta E_c$ ,  $\Delta E_v$  は伝導帯、価電子帯の不連続値、 $\delta_1$ はc-Siの価電子帯とフェルミ準位との差、 $\delta_2$ はa-Si:Hの伝導帯とフェルミ準位との差、 $\delta_m$  はMgの仕事関数である。

100kHzで測定したため、測定される容量は a-Si:H側の膜全体の容量とc-Si側の空乏層幅 W, による容量の直列であるから、

$$\frac{1}{C} = \frac{W_1}{\epsilon_0 \epsilon_{s1}} + \frac{L}{\epsilon_0 \epsilon_{s2}} \tag{1}$$

となる。 $\epsilon_0$  は真空誘電率、 $\epsilon_{s1}$  ,  $\epsilon_{s2}$  はc-Si , a-Si:Hの比誘電率である。  $\epsilon_{s1} \simeq \epsilon_{s2}$  であるので、

$$C = \frac{\epsilon_0 \epsilon_s}{L + W_1} \tag{2}$$

と(1)式を書き直せる。一方、Andersonのヘ テロ接合モデル(14)によると、

$$\frac{V_{D1} - V_1}{V_{D2} - V_2} = \frac{N_I}{N_A} \tag{3}$$

であり、

$$W_1 = \sqrt{\frac{2\epsilon_0\epsilon_s}{qN_A}(V_{D1} - V_1)} \tag{4}$$

となる。 $V_1$ , $V_2$ はc-Si,a-Si:Hの空乏層にかかる印加電圧であり、 $N_1$ はa-Si:H膜のドナーとして働く局在準位である。(2),(3),(4)式から、

$$W_1^2 = \left(\frac{\epsilon_0 \epsilon_s}{C} - L\right)^2$$

$$= \frac{2\epsilon_0 \epsilon_s N_I}{qN_A (N_I + N_A)} (V_D - V) \qquad (5)$$

が得られる。

図4の試料6のデータを $W_1^2$ -Vのグラフに書きなおすと図6のような直線の関係が得られ、(5)式から $N_{\rm I}$ , $V_{\rm D}$ が求められる(表2)。 $N_{\rm I}$ の値は $A_{\rm U}/a$ -Si: $H/n^{\rm t}$  c-Si Schottky障壁素子の低周波C-V特性から得られる値と良い一致を示した。

a-Si:H膜の電子親和力は次のようにして求

められる。図5で、

$$\Delta E_C = \delta_1 + \delta_2 - E_{g1} + qV_D, \qquad (6)$$

及び、

$$\Delta E_C = \chi_1 - \chi_2 \tag{7}$$

であるから、表1の  $\delta_1$ , $\delta_2$ , $V_b$  を用いて、 $\mathcal{X}_2$  が求められる。c-Siの $E_{gl}$  を1.12 eV, $\mathcal{X}_1$  を4.01 eVとすると、

$$\chi_2 = 3.81 + 0.07 \text{ eV} \tag{8}$$

となる。a-Si:Hの禁制帯幅は測定できず、現在のところ光吸収係数から経験的(valux (ky-E))に求まる光学的禁制帯幅E。を禁制帯幅として用いている。しかし、今回の測定法ではn型a-Si:Hとp型c-Siを用いているため、不確定性のあるa-Si:Hの禁制帯幅を用いずに電子親和力が求められるのが特徴である。

以上C-V特性から求められた結果から、各種のa-Si:H/c-Siヘテロ接合のバンド図は図7のようになる。

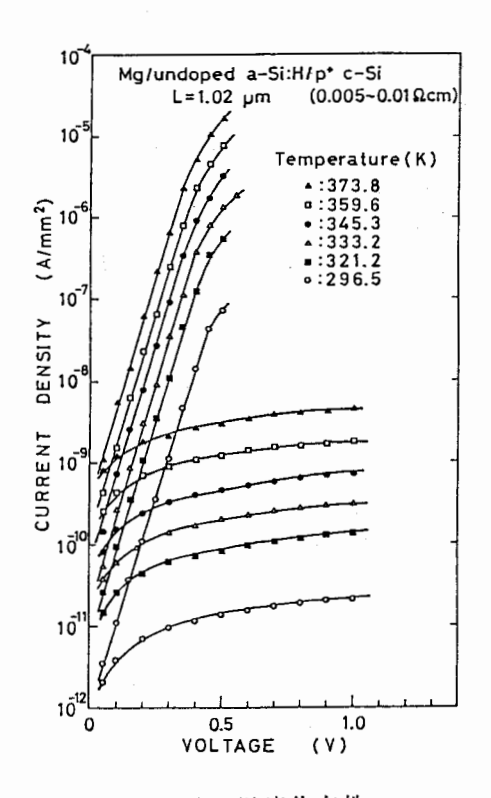


図8. J-V特性の温度依存性

# 3-3.電流-電圧特性

図8に試料4のJ-V特性の温度依存性を示す。ここでは試料4と同時に堆積したa-Si:H膜による試料5、6、7との比較で考察する。

拡散モデル、熱電子放出モデル、再結合モ デルによれば、J-V特性は、

$$J \propto \exp\left(\frac{qV}{nkT}\right) \tag{9}$$

で表される。kはボルツマン定数、Tは測定温度、ηは温度に依存しないダイオード因子である。

ところが、図8からわかるように順方向電流のln J-Vの傾きは、温度に依らず一定であり、

$$J = J_0 \exp(AV) \tag{10}$$

で書き表せる。Aは温度に依存しない定数である。また、 $J_0$ -Tでは直線関係が得られず、 $J_0$ -1/Tで直線関係が得られたので(図9)、

$$J_0 \propto \exp\left(-\frac{\Delta E_{af}}{kT}\right) \tag{11}$$

で書き表せることがわかった。

(10)式で表せる接合特性は、トンネル電流 が重要な役割をしている場合である。今まで に報告されているトンネル電流モデルを図10 に示す。Aは電子が伝導帯の障壁をトンネル するモデルである。Ribenらの計算によると 結晶の場合、障壁の頂上から0.1 eV低いとこ ろをトンネルすると報告されている。アモル ファスの場合、マルチ-トンネルが考えられ るので、更に低いところをトンネルするBが 考えられる。これらの温度依存性はトンネル するエネルギー位置でのa-Si:H側の電子密度 の温度依存性になるので、そのエネルギー位 置とフェルミ準位との差になる。例えば試料 4 の場合、図7からわかるように, ΔE<sub>nc</sub> は 1.12 eV から1.32 eV になるはずであるが、 実験結果は図9からわかるように0.72 eV と 小さい値である。したがって、これらのトン ネル電流モデルではうまく説明できないこと がわかる。

次に、C,D,Eが報告されているが、これら

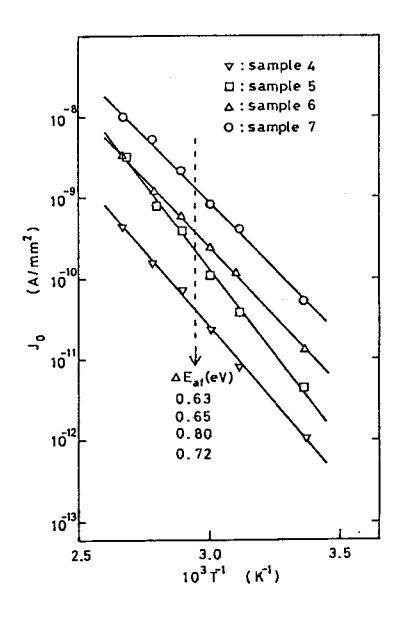


図9. Jo-1/T特性

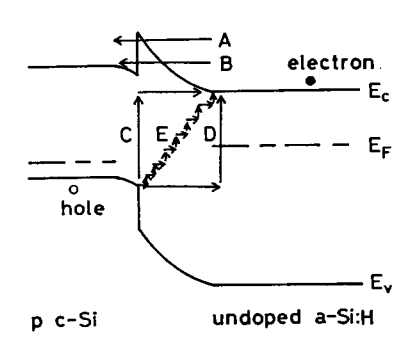


図10. 報告されているトンネルモデル

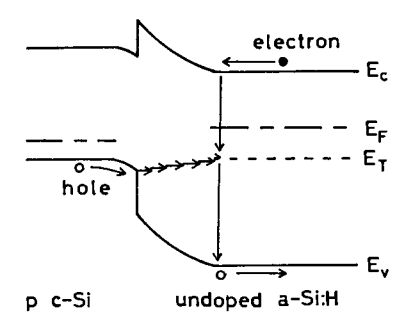


図11. 我々が提案しているmultitunneling capture-emissionモデル

のJ。の温度依存はJ。-Tのグラフで直線になり、その傾きから禁制帯幅の温度依存が求められる。ところが、今回のa-Si:H/c-Siへテロ接合のJ。の温度依存性はJ。-1/T つまり(11)式で表されるので、これらのモデルでもないことが判明した。

我々の無添加a-Si:H/c-Siへテロ接合の電流ー電圧特性を説明する為に図11のようなmultitunneling capture-emissionモデルを考えてみる。p c-Si側の価電子帯の正孔は、c-Siとa-Si:Hとの界面からa-Si:H禁制帯中に注入されマルチートンネルする。そして、次の局在準位にトンネルするより、正孔を価を子帯に放出するか、伝導帯の電子を捕獲する方が速くなるまでマルチートンネルする。つまり電界が弱くなる空乏層端に近いところまでマルチートンネルすると考えられる。従って、

$$J = B(e_p + \sigma_n v_{th} n) \exp(AV)$$
 (12)

と書き表せる。Bは印加電圧と測定温度に依存しない定数であり、epは正孔放出割合で、 σ<sub>n</sub>v<sub>th</sub> nは電子捕獲割合である。正孔放出割合 は

$$e_p = \sigma_p v_{th} N_V \exp\left(-\frac{E_T - E_V}{kT}\right)$$
 (13)

で与えられ、電子密度は

$$n = N_C \exp\left(-\frac{E_C - E_F}{kT}\right) \tag{14}$$

で与えられるから、電流密度は

$$J = J_0 \exp(AV) \tag{15}$$

$$J_0 = B \left[ \sigma_{p} v_{th} N_{\nu} \exp \left( -\frac{E_T - E_{\nu}}{kT} \right) \right.$$

$$+\sigma_n v_{th} N_C \exp\left(-\frac{E_C - E_F}{kT}\right)$$
 (16)

となる。 $\sigma_n$ , $\sigma_p$ は電子、正孔の捕獲断面積、 $v_{th}$ は熱速度、 $N_c$ ,  $N_v$ は伝導帯、価電子帯の有効状態密度、 $E_F$ はフェルミ準位、 $E_T$ は局在準位、 $E_c$ は伝導帯下端、 $E_V$ は価電子帯上端のエネルギーを示す。

アクセプタ密度N』が最も多い試料4では

(11)式の  $\Delta E_{ut}$  は図9に示されているように 0.72~eVである。一方a-Si:H膜の暗伝導率の 活性化エネルギー( $\delta_2$ = $E_c$ - $E_F$ )は0.72~eVであった。このことより、試料4~eは(16)式のうちの第2~項、つまりマルチ-トンネルしてきた正孔と伝導帯の電子との結合による電流が主であることがわかる。

他方P c-Siのアクセプタ密度を少なくするに従って、 $\Delta E_{Qf}$  が0.80 eV(試料 5), 0.65 eV (試料 6), 0.63 eV(試料 7)と小さくなり、a-Si:H膜の暗伝導率の活性化エネルギーと異なるので(16)式の第 2 項ではない。マルチートンネルではほとんど正孔のエネルギーは失われないと考えられるので、 $E_{T}$ - $E_{V}$ が小さくなる(図 7)。この傾向は、実験結果と良く一致するので、試料 5, 6, 7では(16)式の第 1 項の正孔の放出の方が主であることがわかった。

## 4.結論

a-Si:H/c-Siヘテロ接合のC-V特性、J-V特性を調べた結果、次のようなことがわかった。

- (1)ヘテロ接合と金属/a-Si:II接合のJ-V特性から、a-Si:IIの伝導型(n型、真性型、p型)及び各接合特性(整流性、オーミック性)の判別が表1のようにできた。
- (2)100kHzのC-V特性から、c-Siの電子親和 力を4.01 eVとすると、a-Si:Hの電子親和力 は3.81±0.07 eVとなることがわかった。
- (3)無添加 a-Si:H/p c-Siの順方向電流は multitunneling capture-emissionモデルで うまく説明できることがわかった。

## 参考文献

- (1) Y. Hamakawa: Tetrahedral-Bonded Amorphous Semiconductors, edited by D. Adler and H. Fritzsche(Plenum Press, New York, 1895), p. 513.
- (2) H. Matsuura, A. Matsuda, H. Okushi and K. Tanaka: J. Appl. Phys. 58(1985) 1578

- (3) H. Matsuura, T. Okuno, H. Okushi, S. Yamasaki, A. Matsuda, N. Hata, H. Oheda and Tanaka: Jpn. J. Appl. Phys. 22(1983) L197.
- (4) H. Matsuura, T. Okuno, H. Okushi, N. Hata, H. Oheda, A. Matsuda and K. Tanaka: Extended Abstracts 15th conf. on Solid State Devices and Materials, Tokyo, 1983, p.185.
- (5) H. Matsuura, T. Okuno, H. Okushi and K. Tanaka: J. Appl. Phys. 55(1984)1012.
- (6) M. M. Rahman and S. Furukawa: Jpn. J. appl. Phys. 23(1984)515.
- (7) H. Matsuura, A. Matsuda, H. Okushi, T. Okuno and K. Tanaka: Appl. Phys. Lett. 45(1984)433.
- (8) H. Mimura and Y. Hatanaka: Appl. Phys. Lett. 45(1984)452.
- (9) H. Mimura and Y. Hatanaka: Jpn. J. Appl. Phys. 24(1985)L355.

- (10) H. Mimura and Y. Hatanaka: Extended Abstracts 17th Conf. on Solid State Devices and Materials, Tokyo, 1985,p.
- (11) V. Smid, J. J. Mares, L. Stourac and J. Kristofik: Tetrahedrally-Bonded Amorphous Semiconductors, edited by D. Adler and H. Fritzsche(Plenum Press, New York, 1985), p. 483.
- (12) K. Okuda, H. Okamoto and Y. Hamakawa: Jpn. J. Appl. Phys. 22(1983) L605.
- (13) K. Sasaki, S. Furukawa and M. M. Rahman: Extended Abstracts 17th Conf. on Solid State Devices and Materials, Tokyo, 1985, p. 385.
- (14) R. L. Anderson: Solid-State Electron. 5(1962)341.